

# تجزیه و تحلیل اشباع آب در سازندهای شیل دار به کمک نمودارهای متقطع پیکت

علی اکبر رحیمی بهار

کارشناس پتروفیزیک پژوهشکده اکتساف و تولید - پژوهشگاه صنعت نفت

حسین حسین پورصیامی

کارشناس پتروفیزیک پژوهشکده اکتساف و تولید - پژوهشگاه صنعت نفت

(تاریخ دریافت ۸۲/۸/۳، تاریخ تصویب ۸۳/۱/۲۹)

## چکیده

در این مقاله به تحلیل بسط مدل‌های مربوط به شیل با استفاده از نمودارهای متقطع تخلخل موثر- مقاومت ویژه حقیقی متاثر از گروه شیل ( $A_{sh}$ ) در سه حالت لایه ای، پراکنده و شیل کل خواهیم پرداخت. با استفاده از روش‌های ارایه شده در این مقاله می‌توان تحلیل واقع بینانه ای از مخازن نفتی که دارای شکستگی های طبیعی است به دست آورد. پاسخ معادلات برای مدل‌های مذکور امکان ایجاد نمودارهای متقطع را برای محاسبه درصد اشباع آب، خواهد داد. سه پارامتر مهم در روش‌های پیشنهاد شده عبارتند از:

۱- مقدار ( $m$ ) یا پارامتر تخلخل که نباید برابر با ( $2$ ) در نظر گرفته شود و باید بصورت آزمون و خطأ تعیین شود.

۲- مقاومت ویژه آب ( $R_w$ ) که در مخازن آب دار قابل تعیین است

۳- تمام لایه‌های شیلی که تحلیل می‌شوند می‌توانند در یک نمودار متقطع شامل تخلخل و مقاومت ویژه متاثر از گروه شیل ( $A_{sh}$ ) نمایش داده شوند، حتی زمانیکه حجم شیل بطور یکنواخت و پیوسته تغییر کند. در ادامه مقاله به ذکر دو نمونه مطالعه موردي خواهیم پرداخت که شامل نمودارهای متقطع هستند که ابزارهای بسیار مفیدی در ارزیابی و تحلیل مدل‌های شیل لایه ای، پراکنده و کل می‌باشند.

**واژه‌های کلیدی :** شیل، نمودارهای درون چاهی، نمودارهای متقطع پیکت، مدل‌های اشباع آب، ضرایب

آرجی

## مقدمه

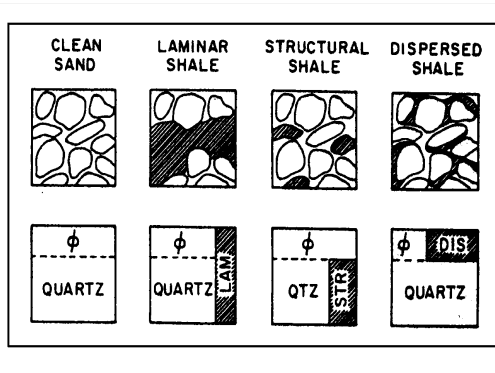
مقاومت ویژه حقیقی متاثر از گروه شیل ( $A_{sh}$ ) بکار آیند. این موضوع در شکل (۲) نشان داده شده است. اصول مشابه دیگری نیز توسط یافته دیگری نیز توسط (Sanyal&Ellithorpe, 1978) و مدل شیلی توسعه موردن بحث واقع شده اند. همچنین بررسیهای بسیار چشمگیری از تحلیل سازندهای شیلی نیز توسط (Patchett&Rausch, 1967) چشمگیری از تحلیل سازندهای شیلی نیز توسط (Fertl&Worthington, 1985) ارایه شده است.

## اصول نظری

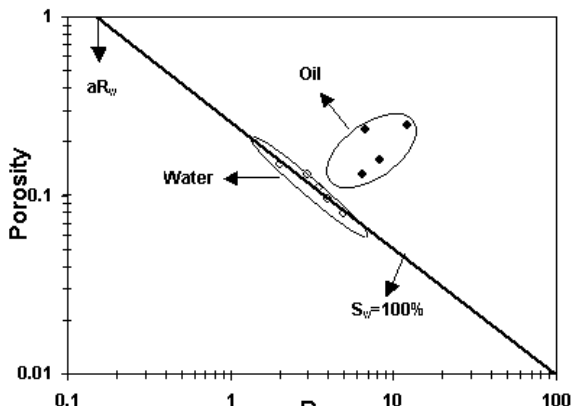
مدلهای زیادی در ارتباط با ادبیات تعبیر و تفسیر نمودارهای درون چاهی در سازندهای شیلی منتشر شده است. بطور کلی این مدلها می‌توانند به

نمودارهای متقطع پیکت Plot (Pickett Plot 1966&1973) به عنوان ابزارهای بسیار مفیدی در تعبیر و تفسیر نمودارهای درون چاهی بکار برده می‌شوند. در روش پیکت، شاخص مقاومت ویژه ( $I$ ) و درجه اشباع آب ( $S_w$ ) از روی نمودارهای متقطع مقاومت ویژه حقیقی (در بعضی موارد ظاهری) و تخلخل یا پاسخ ابزار تخلخل محاسبه می‌شوند (شکل ۱). در طی سالها، تعدادی از متخصصان چاه پیمایی معتقد بودند که یکی از ضعفهای نمودارهای متقطع پیکت، عدم توانایی و اعتبار آن در تحلیل سازندهای شیلی است. در حالیکه مطالعه حاضر نشان خواهد داد که مدل‌های شیل لایه ای، پراکنده و کل می‌توانند برای نمودارهای متقطع تخلخل و

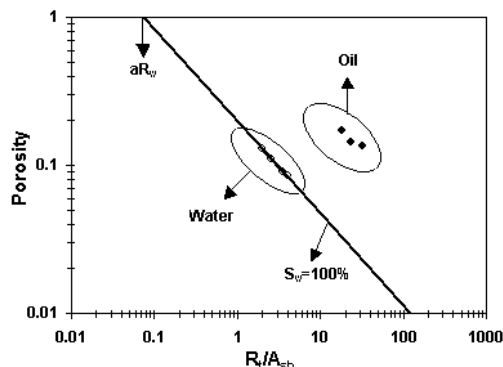
بندی آنها را براساس توزیع شیل در سازند نشان می دهد. بخش بالایی شکل ، تصویر شماتیک را نشان می دهد، در صورتیکه بخش پایینی آن حجمهای مربوطه را ارایه می دهد. معادلاتی که برای مدلها مذکور استفاده می شوند امکان ایجاد نمودارهای متقطع را داده و می توانند مقادیر درجه اشباع آب را با سرعت محاسبه کنند.



شکل ۳: اشکال مختلف توزیع شیل و تاثیر آن بر تخلخل سازند.



شکل ۱: نمونه ای از نمودار متقطع پیکت برای سازند های عاری از شیل.



شکل ۲: نمونه ای از نمودار متقطع پیکت برای سازند های حاوی شیل.

## مدلهای شیل

### ۱- مدل شیل لایه ای

[پاپن و همکارانش ۱۹۵۴] (Poupon et al , 1954) از مدل هدایت الکتریکی موازی بشرح زیر برای ارزیابی سازندهای شیلی لایه ای استفاده کردند:

$$S_w^2 = \frac{a(1-V_{lam})R_w}{\phi^2} \left( \frac{1}{R_t} - \frac{V_{lam}}{R_{sh}} \right) \quad (1)$$

در این رابطه ( $a$ ) عددی است که بستگی به جنس سنگ دارد که اغلب ۱ در نظر گرفته می شود( البته برای ماسه سنگها  $a= 0.62$  و برای سنگ آهک بدون درزه و شکاف با تخلخل کم  $a=1$  در نظر گرفته می شود)، ( $R_w$ ) مقاومت ویژه آب سازند بر حسب اهم متر، ( $\phi$ ) تخلخل، ( $V_{lam}$ ) حجم شیل لایه ای، ( $R_t$ ) مقاومت ویژه حقیقی سازند بر حسب اهم متر، ( $R_{sh}$ ) مقاومت ویژه شیل بر حسب اهم متر و ( $S_w$ ) درجه اشباع موثر آب است. برای بدست آوردن معادله عمومی تر، پارامترهای درجه اشباع آب و تخلخل را از مقدار (۲) به (۳) و (۴) تغییر می دهیم . بنا براین معادله

سه مدل شیل لایه ای ، پراکنده و شیل کل دسته بندی شوند. شیلهای لایه ای ، شیل هایی هستند که بشکل لایه ای در میان ماسه سنگها وجود دارند . این نوع شیلها ببروی تخلخل و نفوذپذیری لایه های ماسه سنگی تاثیری ندارند. شیلهای ساختمانی (یعنی ، شیلهایی که می توانند بصورت دانه ای یا نودولار ( گره ) در خمیره سازند وجود داشته باشند) بنظر میرسد که خواص مشابه ای با شیلهای لایه ای دارند. شیل های پراکنده، شیل هایی هستند که می توانند در سرتاسر لایه ماسه سنگی پراکنده شوند و بخشی از تخلخل بین دانه ای را پر کنند یا دانه های ماسه را بپوشانند . شیلهای پراکنده می توانند نفوذ پذیری سازند را بطور قابل ملاحظه ای کاهش دهند. مدلها شیل کل ، مدلها می هستند که برای بسیاری از سازندهای شیلی ، مستقل از نحوه توزیع شیل بکار می روند. شکل (۳) شیلهای مذکور و طبقه

بصورت شیب خط  $100\%$  اشباع آب تعیین شده، لذا امکان محاسبه مقدار  $(n)$  به آسانی وجود دارد. برای بهبود بخشیدن به نتایج، روش زیر پیشنهاد شده است [۱۳] :

$$n = \text{تعیین مقدار}$$

۲- برون یابی خط درجه اشباع آب همزاد تا تخلخل  $100\%$ . قرائت در این نقطه،  $(R_t / A_{lam})$  را می دهد که معادل با  $(aR_w / C^n)$  است، سپس محاسبه مقدار  $C$ .

۳- برون یابی خط درجه اشباع آب همزاد تا اینکه به خط اشباع آب برخورد کند. اگر قرائت تخلخل در نقطه برخورد برابر با مقدار ثابت  $C$  محاسبه شده در مرحله (۲) باشد، خط درجه اشباع آب همزاد انتخاب شده، درست است و اگر نباشد، خط درجه اشباع آب همزاد را به موقعیت جدید منتقل و مجدداً روش را تکرار می کنیم. با دانستن  $(m)$  و  $(n)$  و  $(aR_w)$  مقدار  $(S_w)$  با استفاده از معادلات (۱) یا (۲) و (۳) تعیین می شوند. روش دیگر برای تعیین  $(S_w)$  استفاده مستقیم از نمودارهای متقطع است. در اینحالت با فرض اینکه مقدار  $(R_w)$  در محدوده آب و هیدروکربن یکسان باشد و محاسبه شاخص مقاومت ویژه محدوده هیدروکربنی شیل لایه ای  $(I_{lam})$  از رابطه زیر :

$$I_{lam} = (R_t / A_{lam})_h / (R_t / A_{lam})_w \quad (7)$$

درجه اشباع آب از رابطه زیر قبل محاسبه است :

$$S_w = I_{lam}^{-1/n} \quad (8)$$

همچنین از روی نمودار متقطع در مقیاس لگاریتمی می توان درجه اشباع آب را با استفاده از رابطه زیر بدست آورد:

$$S_w = (\phi_w / \phi_h)^{m/n} \quad (9)$$

که در آن  $(\phi_w)$  قرائت تخلخل بر روی خط  $100\%$  اشباع آب و  $(\phi_h)$  تخلخل محدوده هیدروکربن دار است. توجه به این نکته ضروری است که  $(\phi_w)$  و  $(\phi_h)$  متفاوت هستند.

(۱) برای تحلیل مخازن با شکستگی طبیعی که مقادیر  $(m)$  و  $(n)$  آنها کمتر از مقدار طبیعی (با توجه به درجه شکستگی آن) است به شکل زیر بسط داده می شود:

$$R_t / A_{lam} = aR_w \phi^{-m} S_w^{-n} \quad (2)$$

که در آن  $(A_{lam})$ ، بخش مربوط به شیل لایه ای است و برابر است با :

$$A_{lam} = (R_{sh} - R_t V_{lam}) (1 - V_{lam}) / R_{sh} \quad (3)$$

با گرفتن لگاریتم از دو طرف معادله (۲) خواهیم داشت :

$$\log(R_t / A_{lam}) = -m \log \phi + \log(aR_w) + \log S_w^{-n} \quad (4)$$

معادله (۴) بیان می کند که نمودار متقطع  $(R_t / A_{lam})$  در مقابل  $(\phi)$ ، در مقیاس لگاریتمی باید خط مستقیمی با شیب  $(-m)$  را ارایه دهد، مشروط بر آنکه  $(S_w)$  و  $(aR_w)$  ثابت باشند. هنگامیکه خط  $100\%$  اشباع آب تا تخلخل برون یابی شود مقدار  $(aR_w)$  می تواند در نقطه ای بر روی مقیاس  $(R_t / A_{lam})$  قرائت شود. اگر محدوده هایی با درجه اشباع آب همزاد با ضابطه  $(S_w \phi = \text{Constant} = C)$  وجود داشته باشند، پارامتر درجه اشباع آب  $(n)$  می تواند با جایگذاری  $(S_w = C / \phi)$  در معادله (۳) بصورت زیر محاسبه شود :

$$(R_t / A_{lam}) = aR_w \phi^{-m} (C / \phi)^{-n} \quad (5)$$

با این وجود ضابطه  $(S_w = C / \phi)$  باید با احتیاط بکار رود، چون در بعضی موارد مشاهده شده که این ضابطه می تواند تعبیر و تفسیر اشتباہی را بوجود آورد [۲]. با گرفتن لگاریتم از دو طرف معادله (۵) می توان نوشت:

$$\log(R_t / A_{lam}) = (n - m) \log \phi + \log(aR_w / C^n) \quad (6)$$

معادله (۶) بیان می کند که نمودار متقطع  $(R_t / A_{lam})$  و  $(\phi)$  در مقیاس لگاریتمی باید خط مستقیمی با شیب  $(n-m)$  را برای محدوده با درجه اشباع آب همزاد ارایه دهد. چون مقدار  $(m)$  قبل

$$B_{dis} = \frac{V_{dis}(R_{dis} - R_w)^2}{2\phi R_{dis}} \quad (13)$$

$$C_{dis} = \frac{V_{dis}(R_{dis} + R_w)}{2\phi R_{dis}} \quad (14)$$

با گرفتن لگاریتم از دو طرف معادله (۱۱) خواهیم داشت :

$$\log\left(\frac{R_t}{A_{dis}}\right) = -m \log \phi + \log(aR_w) + \log S_w^{-2} \quad (15)$$

معادله (۱۵) نشان می دهد که نمودار متقطع ( $R_t / A_{dis}$ ) و  $\log(\phi)$  باید خط مستقیمی با شیب برابر با ( $-m$ ) را برای محدوده هایی با ( $aR_w$ ) و ( $S_w$ ) ثابت نشان دهد. بنابراین، برای تحلیل یک مخزن دارای شیل پراکنده با استفاده از نمودار متقطع در مقیاس لگاریتمی بشرح زیر عمل می شود:

۱- محاسبه ( $B_{dis}$ ) و ( $C_{dis}$ ) برای هر عمق (مورد نظر) با استفاده از معادلات (۱۳) و (۱۴).

۲- محاسبه ( $A_{dis}$ ) از معادله (۱۲). در اینجا باید توجه داشت که محاسبه ( $A_{dis}$ ) نیاز به داشتن ( $m$ ) و ( $aR_w$ ) دارد.

۳- تهییه نمودار متقطع ( $R_t / A_{dis}$ ) در مقابل ( $\phi$ ) بر روی کاغذ لگاریتمی. این نمودار باید خط مستقیمی را برای محدوده هایی که درجه اشباع آب ( $S_w$ ) و ( $aR_w$ ) ثابت دارند، نشان دهد.

۴- برون یابی خط مستقیم درجه اشباع آب ۱۰۰٪.

در این نقطه حاصل ( $aR_w$ ) در مقابل ( $R_t / A_{dis}$ ) را در مقیاس لگاریتمی قرائت کنید. همچنین مقدار شیب ( $-m$ ) را نیز تعیین نمایید. مقادیر ( $aR_w$ ) و ( $m$ ) که از نمودار لگاریتمی بدست آمدند، باید برابر با مقادیر ورودی در مراحل قبل باشند. بنابراین امکان تغییر مقدار ( $m$ ) با روش آزمون و خطا و کنترل مجدد مقاومت ویژه آب وجود دارد (فرض می شود که مقدار ( $m$ ) برابر با (۲) برای خیلی از مخازن دارای شیل پراکنده معتبر است که یا شکستگی طبیعی ندارند و یا مخازنی که درجه شکستگی طبیعی آنها خیلی کوچک است. با این وجود، با افزایش میزان شکستگی، فرض ( $m$ ) برابر با ۲ معتبر

## ۲- مدل شیل پراکنده

در بعضی از موارد، شیلها ممکن است در کل ماسه سنگ پراکنده شوند و بطور موضعی فضاهای کوچکتر را پر کنند و یا دانه های ماسه را پوشش دهند. شلومبرژ (Schlumberger, 1979) معادله زیر را برای محاسبه درجه اشباع آب در مخازن با شیل پراکنده ارایه داده است :

$$S_w = \sqrt{\frac{aR_w}{\phi^2 R_t} + \left( \frac{V_{dis}(R_{dis} - R_w)^2}{2\phi R_{dis}} \right)} - \left[ \frac{V_{dis}}{\phi} \frac{(R_{dis} + R_w)}{2R_{dis}} \right] \quad (10)$$

در این رابطه ( $a$ ) عدد ثابت (بسته به جنس سنگ)، ( $R_w$ ) مقاومت ویژه آب سازند بر حسب اهم متر، ( $\phi$ ) تخلخل، ( $V_{dis}$ ) حجم شیل پراکنده، ( $R_t$ ) مقاومت ویژه حقیقی سازند بر حسب اهم متر، ( $R_{dis}$ ) مقاومت ویژه شیل پراکنده بر حسب اهم متر و ( $S_w$ ) درجه اشباع موثر آب است. ارزش معادله (۱۰) در چندین منطقه که تمام اطلاعات ورودی مورد نیاز در دسترس بودند، ثابت شده است. اما مشکل اینست که در اغلب موارد با توجه به دانستن ضریب ( $a$ )، مقاومت ویژه آب ( $R_w$ ) و حجم شیل پراکنده، مجھولات زیاد دیگری نیز وجود دارند. علاوه بر این در موارد زیادی مقدار ( $m$ ) برابر با (۲) نیست. برای رفع این مشکل، مقدار ( $m$ ) از (۲) به ( $m$ ) تغییر یافت تا معادله عمومی تری بدست آید. در این حالت مدل شیل پراکنده می تواند برای تحلیل مخازن با شکستگی طبیعی که مقدار ( $m$ ) آن کوچکتر از حد معمول آن است (با توجه به درجه شکستگی آنها) بسط داده شود [۱]. با این تغییر، اکنون می توان معادله (۱۰) را بصورت زیر نوشت:

$$R_t / A_{dis} = aR_w \phi^{-m} S_w^{-2} \quad (11)$$

که در آن مقدار ( $m$ ) بزرگتر از (۲) معرفی شده است و ( $A_{dis}$ ) گروه شیل پراکنده است که توسط روابط زیر داده می شود :

$$A_{dis} = 1 + \frac{\phi^m R_t}{aR_w} (B_{dis} - 2\sqrt{(aR_w / \phi^m R_t) + B_{dis} C_{dis} + C_{dis}^2}) \quad (12)$$

(Vaxman & Smits, 1968) و کسمن و اسمیت (Vaxman & Smits, 1968) [۱۵] مدل متفاوت دیگری را برای محاسبه درجه اشباع آب در ماسه های محتوی رسهای پراکنده ارایه دادند. این مدل بشكل رابطه زیر می باشد:

$$S_w^{-n^*} = \frac{R_t}{\phi^{-m^*} R_w} (1 + R_w B Q_v / S_w) \quad (18)$$

در این رابطه ( $n^*$ ) و ( $m^*$ ) بترتیب پارامترهای اشباع و تخلخل رس پراکنده هستند و ( $Q_v$ ) تمرکز حجمی کاتیونهای رس (بر حسب  $meq / ml$ ) و ( $B$ ) قابلیت هدایت معادل کاتیونهای رس بر حسب ( $ohm \cdot m^{-1}$ ) / ( $meq \cdot ml^{-1}$ ) است. برای مواردیکه معادله (۱۸) می تواند بصورت زیر نوشته شود:

$$\left( \frac{R_t}{A_{cec}} \right) = \phi^{-m^*} R_w S_w^{-2} \quad (19)$$

که در آن ( $A_{cec}$ ) بصورت رابطه زیر داده شده است:

$$A_{cec} = 1 + \frac{R_t}{2\phi^{-m^*} R_w} (B_{cec}^2 - B \sqrt{B^2 + \frac{4\phi^{-m^*} R_w}{R_t}}) \quad (20)$$

که در آن :

$$B_{cec} = B R_w Q_v \quad (21)$$

قابلیت هدایت معادل کاتیونهای رس، ( $B$ ) ، معمولا از روابط منتشر شده توسط وکسمن و توماس (Vaxman & Thomas, 1974) [۱۶] یا رابطه زیر تعیین می شود:

$$B = 4.6 \left[ 1 - 0.6 e^{\left( \frac{-0.77}{R_w} \right)} \right] \quad (22)$$

که در آن ( $R_w$ ) مقاومت ویژه آب در ۲۵ درجه سانتیگراد است. تمرکز حجمی کاتیونهای رس، ( $Q_v$ ) ، هم در ارتباط با پاسخهای اشعه گاما در محدوده های ماسه سنگهای دلتای مکنزی در کانادا [۱۶] پیدا شده اند و در محدوده های دیگر این امکان وجود نداشت. براساس کارهای کویرپریچ (Koerperich, 1974) [۷] اندازه گیریهای مستقیم آزمایشگاهی تنها راه معتبر جهت تعیین ( $Q_v$ ) هستند، اما مشکل اینست که مغز های قراردادی و

نیست).

۵- محاسبه شاخص مقاومت ویژه  $I_{dis}$  از رابطه زیر

$$I_{dis} = \frac{(R_t / A_{dis})_h}{(R_t / A_{dis})_w} \quad (16)$$

که در این رابطه فرض شده ( $aR_w$ ) و ( $\phi$ ) در محدوده های آبی و هیدروکربنی یکسان باشند. صورت و مخرج رابطه اخیر می توانند بطور مستقیم از نمودار لگاریتمی در مقدار تخلخل محدوده تحلیل شده ، قرائت شوند.

۶- محاسبه درجه اشباع آب ، محدوده هیدروکربنی دارای شیل پراکنده از رابطه زیر :

$$S_w = I_{dis}^{-1/2} \quad (17)$$

معادله (۱۷) در سازند های با شیل پراکنده و فرض ( $n$ ) برابر با (۲) بکار می آید. امکان دیگر برای محاسبه ( $S_w$ ) معادله (۹) است که ( $\phi_h$ ) و ( $\phi_w$ ) می توانند متفاوت باشند، اما باید مقدار  $(R_t / A_{dis})$  یکسانی داشته باشند.

هنگامیکه معادله (۱۰) در شرایط قراردادی استفاده می شود ، باید ( $aR_w$ ) را با توجه به مقدار مستدل درجه اشباع آب ، بخوبی شناخت. با این وجود بعضی از محدوده ها باید با آب دارای مقاومت ویژه ( $R_w$ ) بطور ۱۰۰٪ اشباع شده باشند و بعلاوه ( $m$ ) را نباید مساوی با (۲) در نظر گرفت. بر عکس ( $m$ ) می تواند مستقیما از روی نمودار لگاریتمی تعیین شود ، مشروط بر آنکه محدوده هایی با ( $S_w$ ) ثابت وجود داشته باشند. در این حالت با استفاده از روش آزمون و خطا باید ( $m$ ) تعیین شود ، چون مقدار ( $m$ ) باید به عنوان داده ورودی در معادله (۱۵) برای تهیه نمودار متقطع لگاریتمی وارد شود. مزیت دیگر آن اینست که تمام مناطق شیلی تحلیل شده می توانند در یک نمودار شامل تخلخل و درجه اشباع آب نمایش داده شوند، حتی اگر حجم شیل بطور پیوسته در حال تغییر باشد. چون این روش اجازه محاسبه ( $m$ ) را از نمودارهای درون چاهی می دهد، لذا امکان بسط تحلیل حاضر به ارزیابی مخازن با شیل پراکنده و با شکستگی طبیعی وجود دارد.

مقاومت ویژه حقیقی سازند بر حسب اهم متر،  $(R_{tsh})$  مقاومت ویژه شیل کل بر حسب اهم متر و  $(S_w)$  درجه اشباع موثر آب است. معادله (۲۶) در امریکا، نیجریه، لیبی و آرژانتین با موقوفیت مورد استفاده قرار گرفته است. یکی از محدودیتهای این معادله اینست که ضریب تخلخل برابر با (۲) است و مقدار  $(aR_w)$  باید بدستی تعیین شود. برای حذف این محدودیت، ضریب تخلخل را از (۲) به مقدار  $(m)$  تغییر می‌دهیم و مجدداً معادله (۲۶) را بصورت زیر می‌نویسیم:

$$(R_t / A_{tsh}) = aR_w \phi^{-m} S_w^{-2} \quad (27)$$

و گروه شیل کل  $(A_{tsh})$  بصورت زیر داده می‌شود:

$$A_{tsh} = 1 + \frac{\phi^m R_t}{aR_w} (2B_{tsh} - 2B_{tsh} \sqrt{\frac{aR_w}{\phi^m R_t} + B_{tsh}^2}) \quad (28)$$

که در آن :

$$B_{tsh} = \frac{aR_w}{2\phi^m} \frac{V_{tsh}}{R_{tsh}} \quad (29)$$

با گرفتن لگاریتم از دو طرف معادله (۲۷) خواهیم داشت:

$$\log(R_t / A_{tsh}) = -m \log \phi + \log(aR_w) + \log S_w^{-2} \quad (30)$$

معادله (۳۰) بیان می‌کند که نمودار متقطع لگاریتمی  $(R_t / A_{tsh})$  و  $(\phi)$  باید خط مستقیمی با شیبی برابر با  $(-m)$  نشان دهد، مشروط بر اینکه  $(aR_w)$  و  $(S_w)$  ثابت باشند. شاخص مقاومت ویژه شیل کل محدوده هیدرولیکی  $(I_{tsh})$  با فرض یکسان بودن  $(\phi)$  و  $(aR_w)$  در محدوده آبی و هیدرولیکی از رابطه زیر بدست می‌آید:

$$I_{tsh} = \frac{(R_t / A_{tsh})_h}{(R_t / A_{tsh})_w} \quad (31)$$

همچنین درجه اشباع آب نیز از رابطه زیر بدست می‌آید:

$$S_w = I_{tsh}^{-1/n} \quad (32)$$

در رابطه اخیر ( $n=2$ ) در نظر گرفته شده است. راه دیگر محاسبه  $(S_w)$  استفاده از معادله (۹) است

نمونه‌های مناسب از دیواره چاه معمولاً در کل مقطع ودر تمام چاه‌ها قابل دسترس نیستند. با گرفتن لگاریتم از دو طرف معادله (۱۹) خواهیم داشت:

$$\log\left(\frac{R_t}{A_{cec}}\right) = -m * \log \phi + \log R_w + \log S_w^{-2} \quad (23)$$

معادله (۲۳) بیان می‌کند که نمودار متقطع لگاریتمی  $(R_t / A_{cec})$  در مقابل  $(\phi)$  باید خط مستقیمی با شیب برابر  $(-m)$  برای محدوده هایی با  $(R_w)$  و  $(S_w)$  ثابت نشان دهد. اگر خط مستقیم آبدار به تخلخل ۱۰۰٪ برون یابی شود، مقاومت آب  $(R_w)$  می‌تواند در مقیاس  $(I_{cec})$  قرائت شود. شاخص مقاومت ویژه  $(I_{cec})$  با فرض اینکه  $(R_w)$  و  $(\phi)$  در هر دو محدوده هیدرولیکی و آبی یکسان هستند، با استفاده از رابطه زیر محاسبه می‌شود:

$$I_{cec} = \frac{(R_t / A_{cec})_h}{(R_t / A_{cec})_w} \quad (24)$$

و درجه اشباع آب هم از رابطه زیر بدست می‌آید:

$$S_w = I_{cec}^{-1/n^*} \quad (25)$$

دراین رابطه، پارامتر درجه اشباع آب،  $(n^*)$  برابر با (۲) فرض می‌شود. راه دیگر محاسبه  $(S_w)$  استفاده از معادله (۹) است که  $(\phi_h)$  و  $(\phi_w)$  می‌توانند متفاوت ولی  $(R_t / A_{cec})$  یکسانی داشته باشند.

### ۳- مدل شیل کل

پاپن (Poupon, 1954) و سپس (Simandoux, 1963) نشان دادند که در بعضی از موارد، امکان استفاده از معادله زیر برای محاسبه درجه اشباع آب  $(S_w)$  مستقل از نوع توزیع شیل وجود دارد:

$$S_w = \sqrt{\frac{aR_w}{\phi^2 R_t} + \left(\frac{aR_w}{2\phi^2} \frac{V_{tsh}}{R_{tsh}}\right)^2} - \left(\frac{aR_w}{2\phi^2} \frac{V_{tsh}}{R_{tsh}}\right) \quad (26)$$

در این رابطه ( $a$ ) عدد ثابت (بسته به جنس سنگ)،  $(R_w)$  مقاومت ویژه آب سازند بر حسب اهم متر،  $(\phi)$  تخلخل،  $(V_{tsh})$  حجم شیل کل،  $(R_t)$

$$\phi_{tsh} = \delta\phi_{dsh} + (1-\delta)\phi_{nsh} \quad (39)$$

که ( $\delta$ ) ضریب وزنی بین تخلخلهای شیلی تعیین شده از نمودارهای درون چاهی نوترون و دانسیته است. بطور کلی این مقدار از تجربه منطقه ای تعیین و در محدوده بین  $5/0$  تا  $1/0$  تغییر می کند.

( $\phi_e$ ) تخلخل موثر بدون گاز و برابر با :

$$\phi_e = (\phi_{dc} + \phi_{nc})/2 \quad (40)$$

( $\phi_e$ ) تخلخل موثر با گاز و برابر با :

$$\phi_e = [(\phi_{dc}^2 + \phi_{nc}^2)/2]^{1/2} \quad (41)$$

( $\phi_{dc}$ ) تخلخل دانسیته تصحیح شده اثر شیل و برابر با :

$$\phi_{dc} = \phi_d - V_{sh}\phi_{dsh} \quad (42)$$

( $\phi_{nc}$ ) تخلخل نوترون تصحیح شده اثر شیل و برابر با :

$$\phi_{nc} = \phi_n - V_{sh}\phi_{nsh} \quad (43)$$

و ( $S_{wt}$ ) درجه اشباع آب کل است. همچنین گروه (A<sub>sh</sub>) برای مدل دوال واتر از رابطه زیر محاسبه می شود:

$$A_{sh} = (R_t\phi_i^2/aR_w)(2B_{sh}^2 + 2B_{sh}\sqrt{B_{sh}^2 + (aR_w/R_t\phi_i^2)} + 1) \quad (44)$$

و

$$B_{sh} = S_b(1 - R_w/R_b)/2 \quad (45)$$

نمودار متقطع ( $R_t/A_{sh}$ ) در مقابل ( $\phi$ ) در مقیاس لگاریتمی خط مستقیمی خواهد بود که شبیه برابر با ( $-m$ ) برای محدوده هایی با درجه اشباع آب کل ثابت ( $S_{wt}$ )، دارند. برای محاسبه ( $S_w$ ) در مدل دوال واتر از معادله زیر استفاده می شود:

$$S_w = (S_{wt} - S_b)/(1 - S_b) \quad (46)$$

که در آن ( $S_b$ ) در مدل دوال واتر، درجه اشباع آب لایه ای است.

که در آن ( $\phi_w$ ) و ( $\phi_h$ ) می توانند متفاوت باشند، اما باید مقادیر ( $R_t/A_{tsh}$ ) یکسانی داشته باشند.

### بسط به مدلهای دیگر

مدلهای بحث شده در بخش‌های قبلی این مقاله می توانند بسادگی به مدلهای دیگری که غالباً توسط کارشناسان نمودارهای درون چاهی مورد استفاده قرار می گیرند، بسط داده شوند. مسیر کلی بدین ترتیب است که با تهیه نمودار متقطع از ( $R_t/A_{sh}$ ) در مقابل ( $\phi$ ) بر روی کاغذ لگاریتمی و محاسبه ( $I_{sh}$ ) از رابطه زیر برای محدوده های آبی و هیدرولوژیکی که مقادیر ( $R_w$ ) و ( $\phi$ ) یکسانی دارند:

$$I_{sh} = \frac{(R_t/A_{sh})_h}{(R_t/A_{sh})_w} \quad (33)$$

و محاسبه درجه اشباع آب از رابطه زیر :

$$S_w = I_{sh}^{-1/n} \quad (34)$$

مقادیر ( $A_{sh}$ ) را برای مدل‌های دوال واتر (Dual Water)، اندونزیا (Indonesian)، سیمندوکس (Simandoux)، هوzin (Hossin) و پتچت و راش (Patchett & Raush) بصورت زیر محاسبه کرد :

(الف) مدل دوال واتر - مدل دوال واتر [۳] می تواند بصورت زیر نوشته شود:

$$S_{wt}^2 - [S_b(1 - aR_w/R_b)]S_{wt} - aR_w/(R_t\phi_i^2) = 0 \quad (35)$$

در رابطه اخیر ( $S_b$ )، درجه اشباع آب لایه ای است که بصورت زیر داده می شود :

$$S_b = V_{sh}\phi_{tsh}/\phi_i \quad (36)$$

( $\phi_i$ ) تخلخل کل و برابر با :

$$\phi_i = \phi_e + V_{sh}\phi_{tsh} \quad (37)$$

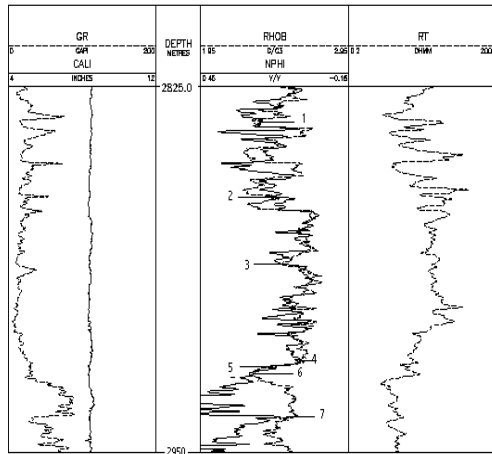
( $R_b$ ) مقاومت ویژه آب لایه ای و برابر با :

$$R_b = R_{sh}\phi_{tsh}^2 \quad (38)$$

( $\phi_{tsh}$ ) تخلخل کل شیل و برابر با :

معادله (۵۵) اشاره دارد بر اینکه نمودار متقطع (R<sub>t</sub> / A<sub>sh</sub>) در مقابل (φ) بر روی کاغذ لگاریتمی باید خط مستقیمی با شیب برابر با (-m) را نشان دهد، مشروط بر آنکه (a)، (R<sub>w</sub>) و (S<sub>w</sub>) ثابت باشند. با تقاطع دادن آن با تخلخل (S<sub>w</sub>) در اشباع آب ۱۰۰٪ معادله بصورت زیر در می‌آید:

$$(aR_{mf}R_w)/(R_{mf} - R_w) = R_t / A_{sh} \quad (56)$$



شکل ۴: نمودارهای درون چاهی و نقاط انتخاب شده در یکی از چاهها.

### مطالعات موردي

مورد اول- این مورد در ارتباط با سازند شیلی در یکی از میدان‌نفتی ایران است که در پژوهشکده اکتشاف پژوهشگاه صنعت نفت مطالعه شده و از نتایج آن در مطالعه حاضر استفاده شده است. شکل (۴) نمودارهای درون چاهی قطربستجی (GR)، اشعه گامای طبیعی (Rhob)، مقاومت ویژه (Rt)، تخلخل نوترون (Nph) و چگالی (Caliper) را نشان می‌دهد. همانطوریکه مشاهده می‌شود در این مطالعه هفت محدوده در نظر گرفته شده و برای ارزیابی، مدل شیل کل (معادله ۲۶) و از فرمول (a=1) (m=2.08) و (R<sub>w</sub>=0.0175 ohmm) و (R<sub>tsh</sub>=4 ohmm) استفاده شده است. اطلاعات ورودی دیگر شامل: در دمای مخزن (R<sub>w</sub>) و در دمای درجول (R<sub>tsh</sub>) می‌باشند.

ب) مدل اندونزیا- مدل اندونزیا [۴] می‌تواند بصورت زیر نوشتہ شود:

$$\frac{1}{\sqrt{R_t}} = \left[ \frac{V_{sh}^{(1-V_{sh})/2}}{\sqrt{R_{sh}}} + \frac{\phi^{m/2}}{\sqrt{aR_w}} \right] S_w^{n/2} \quad (47)$$

گروه (A<sub>sh</sub>) که در نمودار متقطع لگاریتمی استفاده می‌شود، از رابطه زیر بدست می‌آید:

$$A_{sh} = \left[ \frac{V_{sh}^{(1-V_{sh})/2}}{\sqrt{R_{sh}}} \frac{\sqrt{aR_w}}{\phi^{m/2}} + 1 \right]^{-2} \quad (48)$$

ج) مدل سیمندوکس - مدل سیمندوکس بصورت زیر نوشتہ می‌شود:

$$\frac{1}{R_t} = \frac{S_w^2}{a\phi^{-m}R_w} + \varepsilon \frac{V_{sh}}{R_{sh}} \quad (49)$$

در این حالت گروه (A<sub>sh</sub>) بصورت زیر داده می‌شود:

$$A_{sh} = (R_{sh} - \varepsilon R_t V_{sh}) / R_{sh} \quad (50)$$

د) مدل هوزین - مدل هوزین بصورت زیر نوشتہ می‌شود:

$$\frac{1}{R_t} = \frac{S_w^2}{a\phi^{-m}R_w} + \frac{V_{sh}^2}{R_{sh}} \quad (51)$$

گروه (A<sub>sh</sub>) استفاده شده در نمودارهای متقطع بحث شده در این مقاله بصورت زیر داده شده است:

$$A_{sh} = (R_{sh} - R_t V_{sh}^2) / R_{sh} \quad (52)$$

ح) مدل پتچت و راش - این مدل [۹] می‌تواند بصورت زیر نوشتہ شود:

$$S_w^n = \frac{aR_{mf}R_w}{\phi^m R_t (R_{mf} - R_w)} A_{sh} \quad (53)$$

$$A_{sh} = 1 - 10^{-SP/(60+0.133T)} \quad (54)$$

که در آن (T) دمای سازند بر حسب فارنهایت و (SP)، پتانسیل خودزاست. معادله (۵۳) می‌تواند بصورت زیر نوشتہ شود:

$$\log\left(\frac{R_t}{A_{sh}}\right) = -m \log \phi + \log \frac{aR_{mf}R_w}{R_{mf} - R_w} + \log S_w^{-n} \quad (55)$$

جدول ۱: اطلاعات ارزیابی شده سازند شیل دار، در چاه مورد نظر.

محدوده	$R_t$	$\phi$	$V_{tsh}$	$B_{tsh}$	$A_{tsh}$	$R_t / A_{tsh}$
1	2.72	0.14	0.41	0.06	1.10	2.47
2	2.94	0.15	0.31	0.04	1.10	2.68
3	24.07	0.20	0.13	0.01	1.69	14.24
4	2.46	0.09	0.42	0.15	0.97	2.52
5	3.63	0.08	0.89	0.36	0.99	3.66
6	4.01	0.08	0.85	0.38	0.98	4.08
7	4.86	0.07	0.74	0.42	0.95	5.10

مقدار ( $aR_w$ ) هم در تخلخل  $100\%$  برابر است با:

محدوده های (۱) ، (۲) و (۳) از معادلات (۳۱) ، (۳۲) و (۹) بدست آمده اند در جدول (۲) ارایه می شوند. درجه اشباع آب محاسبه شده در جدول (۲) قابل مقایسه با مقادیر ۰.۶۷ ، ۰.۵۸ و ۰.۱۷ بدست آمده برای این چاه در محدوده های ۱ تا ۳ است. درجه اشباع آب با فرض ( $n=2$ ) محاسبه شده است.

( $\phi$ ) و ( $V_{tsh}$ ) برای این محدوده ها آورده شده است. همانطوریکه مشاهده می شود، مقادیر ( $B_{tsh}$ ) و ( $A_{tsh}$ ) بترتیب از معادلات (۲۹) و (۲۸) محاسبه شده وستون آخر مقادیر ( $R_t / A_{tsh}$ ) را که در نمودار متقطع لگاریتمی (شکل (۵)) در مقابل تخلخل آمده نشان می دهد.

جدول ۲: محاسبه ( $I_{tsh}$ ) و ( $S_w$ ).

محدوده	$I_{tsh}$	$S_w$	
	معادله (۳۱)	معادله (۳۲)	معادله (۹)
1	2.31	0.6575	0.6673
2	2.88	0.5897	0.5941
3	29.64	0.1837	0.1844

برای مثال تخلخل در محدوده (۱) برابر با (0.137) است . تخلخل این محدوده اگر خط اشباع  $100\%$  در همان مقاومت ویژه محدوده (۱) قرائت شود ، برابر با (0.093) خواهد بود . در نتیجه درجه اشباع آب از معادله (۹) برابر با :

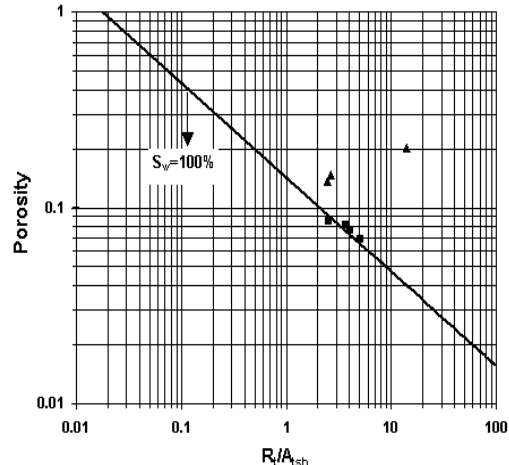
$$S_w = (0.093 / 0.137)^{2.08/2} = 0.6673$$

و برای معادله (۳۲) برابر با :

$$S_w = 2.31^{-1/2} = 0.6575$$

خواهد بود.

مورد دوم. این مورد استفاده از روش اندونزیا (معادلات (۴۷) و (۴۸)) را برای یک چاه دیگر در میدان مذکور قبلی توضیح می دهد. در شکل (۶) نمودارهای درون چاهی در این چاه دیده می شود. همانطوری که مشاهده می شود در این مطالعه یازده محدوده در نظر گرفته شده و برای ارزیابی مدل شیل

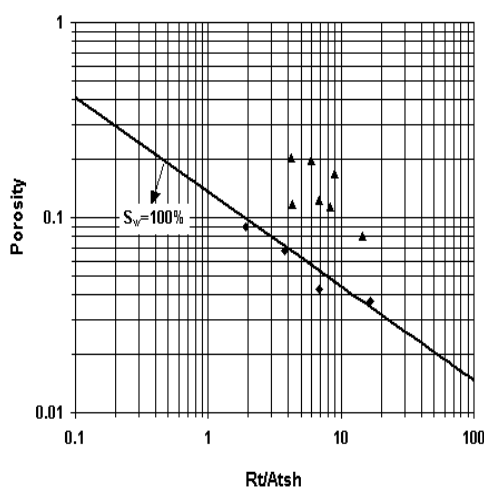


شکل ۵: نمودار متقطع پیکت رسم شده بر اساس داده های مندرج در جدول (۱).

خط مستقیم با شیب منفی ( $m=2.08$ ) از میان محدوده های (۴) و (۵) «(۶) و (۷) عبور می کند که نشان دهنده یک محدوده آبدار است. بنابراین می توان نتیجه گرفت که تعبیر و تفسیر با استفاده از معادله سیمندوکس معتبر است . لازم به ذکر است که مقدار  $m$  با روش سعی و خطا بدست آمده است یعنی اگر خط مستقیم مذبور از میان محدوده های مذکور عبور نکند ، باید مقدار جدید دیگری برای ( $m$ ) در نظر گرفت و روش را مجدداً تکرار کرد . شاخص مقاومت ویژه و درجه اشباع آب که برای

جدول ۳: اطلاعات ارزیابی شده سازند شیل دار، در چاه مورد نظر.

محدوده	$R_t$	$\phi$	$V_{tsh}$	$A_{tsh}$	$R_t / A_{tsh}$
1	4.9450	0.1128	0.1715	0.5995	8.2485
2	2.7473	0.1170	0.1396	0.6402	4.2913
3	4.8011	0.1231	0.0955	0.7048	6.8117
4	2.9299	0.2018	0.2707	0.6878	4.2601
5	4.4280	0.1957	0.1718	0.7368	6.0097
6	7.1510	0.0797	0.1813	0.4884	14.6429
7	6.4747	0.1685	0.1443	0.7249	8.9315
8	5.0422	0.0375	0.1432	0.3010	16.7539
9	2.5838	0.0432	0.1160	0.3761	6.8705
10	2.2838	0.0676	0.0637	0.6072	3.7609
11	1.4083	0.0894	0.0403	0.7370	1.9110

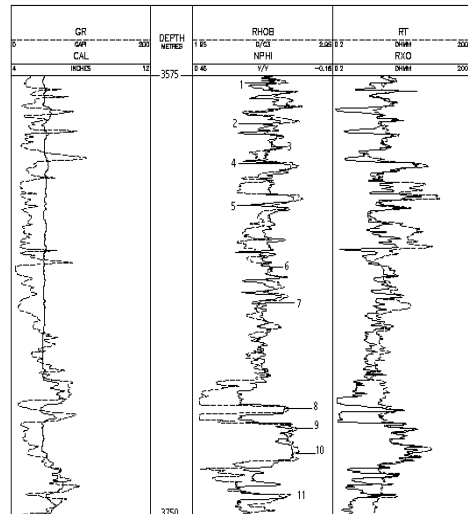


شکل ۷: نمودار متقاطع پیکت رسم شده بر اساس داده های مندرج در جدول (۳).

مقدار ( $a R_w$ ) هم در تخلخل ۱۰۰٪ برابر است با:  
 $aR_w = 1 \times 0.016 = 0.016$

خط مستقیم با شیب منفی ( $m=2.07$ ) از میان محدوده های (۸) و (۹)، (۱۰) و (۱۱) عبور می کند که نشان دهنده یک محدوده آبدار است. بنابراین می توان نتیجه گرفت که تعبیر و تفسیر با استفاده از معادله اندونزیا در این چاه معتبر است. اگر خط مستقیم مذبور از میان محدوده های مذکور عبور نمی کرد باید مقادیر جدید دیگر برای (a) و (m) در نظر گرفته و روش را مجدداً تکرار نمود. شاخص مقاومت ویژه و درجه اشباع آب که برای محدوده های (۵) تا (۱۱) از معادلات (۳۳)، (۳۴) و (۹) بدست آمده اند در جدول (۴) ارایه می شوند.

کل اندونزیا با فرض ( $m=2.07$ ) و ( $a=1$ ) انتخاب شده است.



شکل ۸: نمودارهای درون چاهی و نقاط انتخاب شده در یک چاه دیگر.

اطلاعات ورودی دیگر شامل:  
در دمای مخزن ( $R_w=0.0615$  ohmm) و ( $R_t/A_{tsh}=4$  ohmm) می باشند. در جدول (۳)، ( $R_t$ ) و ( $\phi$ ) و ( $V_{tsh}$ ) برای این محدوده ها آورده شده است. همانطوریکه مشاهده می شود، مقدار ( $A_{tsh}$ ) از معادله (۴۸) محاسبه شده و ستون آخر مقادیر ( $R_t / A_{tsh}$ ) را که در نمودار متقاطع لگاریتمی در شکل (۷) در مقابل تخلخل رسم شده نشان می دهد.

$$S_w = 5.57^{-1/2} = 0.4237$$

## نتایج

در این مقاله روش هایی برای گسترش و بسط تکنیک پیکت از روی نمودارهای متقاطع قراردادی تخلخل و مقاومت ویژه برای مدل های شیل کل ، لایه ای و پراکنده ارایه شدند . بررسی ها نشان داد که تحت شرایط مناسب، امکان ارزیابی سازندهای شیلی بدون داشتن قبلی از ( $m$ ) و ( $aR_w$ ) وجود دارد. مزیت استفاده از نمودار های متقاطع لگاریتمی در این مطالعه اینست که تمام محدوده های شیلی تحلیل شده قابل نمایش در یک نمودار منفرد هستند، حتی اگر حجم شیل بطور پیوسته و یکنواخت تغییر کند. در این نمودار های لگاریتمی نمی توان مقدار ضریب ( $m$ ) را برابر با (۲) در نظر گرفت، بنابراین، این روش می تواند بسادگی و سهولت برای تحلیل مخازن ، با شکستگی طبیعی بسط داده شود.

جدول ۴ : محاسبه ( $I_{tsh}$ ) و ( $S_w$ )

محدوده	$I_{tsh}$	$S_w$	
	معادله (۳۱)	معادله (۳۲)	معادله (۹)
1	5.6304	0.4214	0.4434
2	3.1594	0.5626	0.5822
3	5.5715	0.4237	0.4269
4	9.6936	0.3212	0.3319
5	12.8329	0.2791	0.2839
6	4.8700	0.4531	0.4993
7	13.9916	0.2673	0.2710

درجه اشباع آب محاسبه شده در جدول (۴) قابل مقایسه با مقادیر 0.44,0.58,0.43,0.33,0.28,0.50,0.27 بدست آمده برای این چاه در محدوده های (۱) تا (۷) است. درجه اشباع آب با فرض ( $n=2$ ) محاسبه شده است . برای مثال تخلخل در محدوده (۳) برابر با (0.123) است . تخلخل این محدوده اگر خط اشباع ۱۰۰ درصد همان مقاومت ویژه محدوده (۳) قرائت شود ، برابر با (0.054) خواهد بود . در نتیجه درجه اشباع آب از معادله (۹) برابر با :  $S_w = (0.054 / 0.123)^{2.07/2} = 0.4269$  و برای معادله (۳۴) برابر است با :

## مراجع

- 1 - Aguilera, R. (1980). *Naturally fractured reservoirs*: Penn-Well Books, Tulsa, Oklahoma, P. 703.
- 2 - Aguilera, R. (1990). "A new approach for analysis of the nuclear magnetic log-resistivity log combination." *Journal of Canadian Petroleum Technology*, V. 29, No. 1, PP.67-71.
- 3 - Clavier, C., Coates, G. and Dumanoir, J. (1984). "The theoretical and experimental bases for the dual water model for interpretation of shaly sands." *Society of Petroleum Engineers Journal*, Vol. 24, PP.153-169.
- 4 - Dewan, J. (1983). *Essentials of modern open-hole log interpretation*. PennWell Books, Tulsa, Oklahoma, P. 361.
- 5 - Fertl, W. H. (1987). "Log-derived evaluation of shaly classic reservoirs." *Journal of Petroleum Technology*, Vol. 39 PP.175-194.
- 6 - Johnson, W. L. and Linke, W. A. (1978). "Some practical applications to improve formation evaluation of sandstones in the Mackenzie Delta." *Paper C, in 19<sup>th</sup> Annual Logging Symposium Transactions*.
- 7 - Koerperich, E. A. (1974). "Application of waxman-smits and archie equations for determination of oil saturation in shaly sand reservoirs." SPE-5038: *Society of Petroleum Engineers, presented at 49<sup>th</sup> Annual Technical Conference and Exhibition*, P. 8.

- 
- 8 - Morris, R. L. and Biggs, W. P. (1967). "Using log-derived values of water saturation and porosity." *Paper X, in 18<sup>th</sup> Annual Logging Symposium Transaction: Society of Professional Well Log Analysts*, P. x1-12.
- 9 - Patchett, J. G. and Rausch, R. W. (1967). "An approach to determining water saturation in shaly sands." *Journal of Petroleum Technology*, Vol. 19 PP. 1395-1405.
- 10 - Pickett, G. R. (1966). "A review of current techniques for determination of water saturation from logs." *Journal of Petroleum Technology*, Vol. 18 PP. 1425-1433.
- 11 - Pickett, G. R. (1973). "Pattern recognition as a means of formation evaluation, paper A, in 14<sup>th</sup> Annual Logging Symposium Transactions." *Society of Professional Well Log Analysts*, PP.A1-21.
- 12 - Poupon, A., Loy, M. E. and Tixier, M. P. (1954). "A contribution to electric log interpretation in shaly sands." *Transactions of the American Institute of Mechanical Engineers*, Vol. 201, PP. 138-145.
- 13 - Sanyal, S. K. and Ellithorpe, J. E. (1978). "A generalized resistivity-porosity crossplot concept, SPE-7145." *Society of Petroleum Engineers, presented at the California Regional Meeting*, P.8.
- 14 - Schlumberger, (1979). *Log interpretation principles*. Schlumberger Limited, New York, P. 90.
- 15 - Waxman, M. H. and Smits, L. J. M. (1968). "Electrical conductivities in oil-bearing shaly sands." *Society of Petroleum Engineers Journal*, Vol. 8, PP. 107-122.
- 16 - Waxman, M. H. and Thomas, E. C. (1974). "Electrical conductivities in shaly sands -I: The relation between hydrocarbon saturation and resistivity index; II: The temperature coefficient of electrical conductivity." *Journal of Petroleum Technology*, Vol. 14, PP. 213-225.